

การควบคุมแรงขับเคลื่อนของหุ่นยนต์สำรวจน้ำที่ใช้กลไกแบบ ROCKER-BOGIE

นายมงคล เทียนวิบูลย์

วิทยานิพนธ์นี้เป็นส่วนหนึ่งของการศึกษาตามหลักสูตรปริญญาวิศวกรรมศาสตรดุษฎีบัณฑิต
สาขาวิชาบริการเครื่องกล ภาควิชาบริการเครื่องกล
คณะวิศวกรรมศาสตร์ จุฬาลงกรณ์มหาวิทยาลัย
ปีการศึกษา 2547
ISBN 974-17-6599-1
ลิขสิทธิ์ของจุฬาลงกรณ์มหาวิทยาลัย

TRACTION CONTROL OF A ROCKER-BOGIE FIELD MOBILE ROBOT

Mr.Mongkol Thianwiboon

A Dissertation Submitted in Partial Fulfillment of the Requirements
for the Degree of Doctor of Philosophy in Mechanical Engineering

Department of Mechanical Engineering

Faculty of Engineering

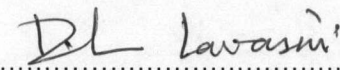
Chulalongkorn University

Academic year 2004

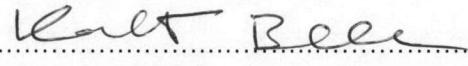
ISBN 974-17-6599-1

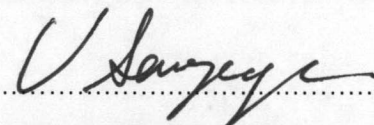
Thesis Title TRACTION CONTROL OF A ROCKER-BOGIE FIELD MOBILE
 ROBOT
 By Mr.Mongkol Thianwiboon
 Field of study Mechanical Engineering
 Thesis Advisor Associate Professor Viboon Sangveraphunsiri, Ph.D.

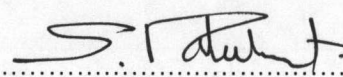
Accepted by the Faculty of Engineering, Chulalongkorn University in Partial
 Fulfillment of the Requirements for the Doctor's Degree

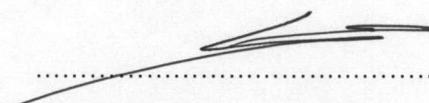
 Dean of the Faculty of Engineering
 (Professor Direk Lavansiri, Ph.D.)

THESIS COMMITTEE

 Chairman
 (Assistant Professor Kaukeart Boonchukosol, Ph.D.)

 Thesis Advisor
 (Associate Professor Viboon Sangveraphunsiri, Ph.D.)

 Member
 (Air Vice Marshal Professor Somnuek Paleebut, Ph.D.)

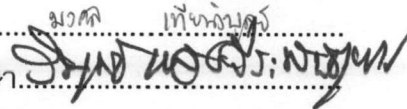
 Member
 (Assistant Professor Ratchatin Chancharoen, Ph.D.)

 Member
 (Wittaya Wannasuphprasit, Ph.D.)

มงคล เทียนวิบูลย์ : การควบคุมแรงขับเคลื่อนของหุ่นยนต์สำรวจที่ใช้กลไกแบบ
ROCKER-BOGIE (TRACTION CONTROL OF A ROCKER-BOGIE FIELD MOBILE
ROBOT) อ. ที่ปรึกษา : รศ.ดร.วิบูลย์ แสงวีระพันธุ์ศิริ, 73 หน้า. ISBN 974-17-6599-1.

งานวิจัยนี้อธิบายถึงการหาแบบจำลองสมการการเคลื่อนที่ของหุ่นยนต์สำรวจหกล้อที่ใช้กลไกแบบ Rocker-Bogie โดยสมการการเคลื่อนที่ไปข้างหน้าคำนวณจาก Wheel Jacobian Matrices ประกอบกับการประมาณมุมสัมผัสระหว่างล้อกับพื้น หลังจากนั้นทำการคำนวณสมการการเคลื่อนที่ผกผันเพื่อใช้คำนวณหาความเร็วเชิงมุมของแต่ละล้อและมุมเลี้ยว จากความเร็วและทิศทางของหุ่นยนต์ที่ต้องการเคลื่อนที่ นอกจากนั้นระบบควบคุมแรงขับเคลื่อนได้ถูกพัฒนาขึ้นเพื่อลดการลื่นไถลของล้อและเพิ่มแรงขับเคลื่อนให้มีค่ามากที่สุด โดยเปรียบเทียบข้อมูลจากอุปกรณ์ตรวจรู้ที่ติดตั้งอยู่บนตัวหุ่นยนต์ กับความเร็วของแต่ละล้อ

การทดสอบแบ่งเป็นสามส่วน ส่วนแรก คือ การทดสอบความพิดพลาดในการเคลื่อนที่ของหุ่นยนต์ อันประกอบด้วยการทดสอบในแนวเส้นตรง การเคลื่อนที่ในแนวเส้นโค้ง และการหมุนรอบตัวเอง ส่วนที่สอง เป็นการทดสอบระบบควบคุมแรงขับเคลื่อนโดยใช้แบบจำลองในคอมพิวเตอร์ และส่วนท้าย ทำการทดสอบหุ่นยนต์ที่ใช้ระบบควบคุมแรงขับเคลื่อนดังกล่าวในพื้นผิวลักษณะต่างๆ

ภาควิชา.....	วิศวกรรมเครื่องกล.....	ลายมือชื่อนิสิต.....	毫克 เทียนวิบูลย์
สาขาวิชา.....	วิศวกรรมเครื่องกล.....	ลายมือชื่ออาจารย์ที่ปรึกษา.....	
ปีการศึกษา....2547.....		ลายมือชื่ออาจารย์ที่ปรึกษาร่วม.....	

437 18123 21 : MAJOR MECHANICAL ENGINEERING

KEY WORD: ROCKER-BOGIE SUSPENSION / TRACTION CONTROL

MONGKOL THIANWIBOON : TRACTION CONTROL OF A ROCKER - BOGIE FIELD

MOBILE ROBOT. THESIS ADVISOR : ASSOC.PROF. VIBOON

SANGVERAPHUNSIRI, Ph.D, 73 pp. ISBN 974-17-6599-1.

A method for kinematics modeling of a six-wheel Rocker-Bogie mobile robot is described in detail. The forward kinematics is derived by using wheel Jacobian matrices in conjunction with wheel-ground contact angle estimation. The inverse kinematics is to obtain the wheel velocities and steering angles from the desired forward velocity and turning rate of the robot. Traction control also developed to improve traction by comparing the information from onboard sensors and wheel velocities to minimize slip of the wheels.

The experiments divided into three sections. First, the experiment was set up to measure the motion error, consist of linear motion (forward-backward), turning around a point and rotation in place. Second, the traction control system was verified by simulation. Finally, a small robot with traction control system was tested in varied conditions of surfaces including vertical obstacles with various heights, inclined surfaces and uneven terrain outdoor condition.

Department.....Mechanical Engineering.. Student's signature.....Mongkol Thianwiboon

Field of study.....Mechanical Engineering.. Advisor's signature.....Chuey ..

Academic year..2004..... Co-advisor's signature.....

ACKNOWLEDGEMENTS

I would like to thank Assoc.Prof. Viboon Sangveraphunsiri for giving me the opportunity to work in the Robotics and Automation Laboratory, having technical assistance and support for many years.

I also would like to thank my colleagues at Robotics and Automation Laboratory and Engineering Innovator Club for their help on my research. Especially, Mr.Mahisorn Wongphati, in designing and manufacturing in the electrical system, including some programming.

I would like to thank my family for their care and support during research. Thanks to Ms.Porta Boonyatearana for reading and suggesting this dissertation and all help.

TABLE OF CONTENTS

	Page
Abstract in Thai.....	iv
Abstract in English.....	v
Acknowledgements.....	vi
Table of Contents.....	vii
List of Figures.....	x
List of Tables.....	xiv
Chapter I Introduction.....	1
1.1 Motivation and Object of Study.....	1
1.2 Objectives.....	2
1.3 Outline of Thesis.....	2
1.4 Benefits.....	2
1.5 Procedures.....	2
Chapter II Literature Review.....	4
2.1 3D Modeling of a Rocker-Bogie Robot.....	4
2.2 Traction Control.....	4
Chapter III Design.....	6
3.1 Mechanical Concept.....	6
3.1.1 Six-wheel Robots.....	6
3.1.2 Rocker-Bogie Suspension.....	6
3.1.3 Drive Scheme.....	7
3.1.4 Turning by Wheel Steering.....	8
3.1.5 Rotation in Place.....	8
3.2 Robot Models.....	8
3.2.1 Lonotech 8.....	8
3.2.2 Model for the new robot.....	9

TABLE OF CONTENTS (CONT.)

	Page
3.3 A robot test bed “Lonotech 10”	10
3.3.1 Mechanical	10
3.3.2 Electrical	11
3.3.2.1 Main Controller	11
3.3.2.2 Motion Controller	11
3.3.2.3 Motor Driver	11
3.3.2.4 Wireless Communication	12
3.3.2.5 Sensors	12
3.3.3 Programming	17
3.3.3.1 Low-level Program	17
3.3.3.2 Base Station Program	17
3.3.4 Specification	19
 Chapter IV Mathematical Modeling	21
4.1 Introduction	21
4.2 Wheel-Ground Contact Angle Estimation	21
4.3 Forward Kinematics	24
4.4 Inverse Kinematics	28
4.4.1 Wheel Angular Velocities	29
4.4.2 Steering Angles	29
 Chapter V Motion Control	32
5.1 Introduction	32
5.2 Motion Control	32
5.3 Velocity Profile (Trajectory) Generation	33
5.4 Slip Ratio	34
5.5 Traction Control	34

TABLE OF CONTENTS (CONT.)

	Page
Chapter VI Experiments and Discussions.....	36
6.1 Motion Error.....	36
6.1.1 Error in linear motion.....	36
6.1.2 Error when turning around a point.....	38
6.1.3 Rotation in place.....	44
6.2 Traction Control.....	47
6.2.1 Slope climbing.....	47
6.2.2 Traversing over a ditch.....	48
6.2.3 Climbing up a step.....	50
6.3 Field Test.....	52
Chapter VII Conclusions and Suggestions.....	54
7.1 Conclusions.....	54
7.2 Suggestions and Future Works.....	54
7.2.1 Robot Structure.....	54
7.2.2 Onboard Controller.....	55
7.2.3 Robot Navigation.....	55
References.....	56
Appendices.....	58
Appendix A : Wheel-Ground Contact Angle Estimation.....	59
Appendix B : Kinematics Modeling.....	65
Biography.....	73

LIST OF FIGURES

	Page
Figure 3.1 : Rocker-Bogie Suspension.....	7
Figure 3.2 : Turning around a point.....	7
Figure 3.3 : Rotation in place.....	8
Figure 3.4 : Lonotech 8.....	9
Figure 3.5 : Robot Simulation.....	9
Figure 3.6 : A model with geometry modifications.....	10
Figure 3.7 : Robot model climbed over the obstacle.....	10
Figure 3.8 : Lonotech 10 designed in CATIA®.....	11
Figure 3.9 : Radio Packet Controller.....	12
Figure 3.10 : Dipole Antenna.....	12
Figure 3.11 : CCD Camera.....	12
Figure 3.12 : Sensor head.....	12
Figure 3.13 : Thermal sensor.....	13
Figure 3.14 : Accelerometer.....	13
Figure 3.15 : Inclinometer.....	13
Figure 3.16 : Rate Gyroscope.....	13
Figure 3.17 : Main Controller Schematic.....	14
Figure 3.18 : Motion Controller Schematic.....	15
Figure 3.19 : Motor Driver Schematic.....	16
Figure 3.20 : Control Schematic.....	17
Figure 3.21 : Control Dialog.....	18
Figure 3.22 : Robot System Block Diagram.....	19
Figure 3.23 : Lonotech 10.....	19
Figure 4.1 : The left bogie on uneven terrain.....	21
Figure 4.2 : Instantaneous center of rotation of the left bogie.....	22
Figure 4.3 : Left Rocker on uneven terrain.....	23
Figure 4.4 : Left Bogie where $\cos \varepsilon_1 = 0$	24
Figure 4.5 : Left Bogie where $\dot{\mu}_1 = 0$ and $\frac{v_2}{v_1} = 0$	24

LIST OF FIGURES (CONT.)

	Page
Figure 4.6 : Left coordinate frame	25
Figure 4.7 : Right coordinate frame	25
Figure 4.8 : Contact coordinate frame	26
Figure 4.9 : Wheel motion frame	26
Figure 4.10 : Instantaneous center of rotation	30
Figure 5.1 : Control Structure	32
Figure 5.2 : Bode Plots of PID Transfer Function	33
Figure 5.3 : Typical Velocity Profiles	34
Figure 5.4 : Robot Control Schematic	35
Figure 6.1 : Position when move in linear motion with speed 5cm/s	36
Figure 6.2 : Position when move in linear motion with speed 10cm/s	37
Figure 6.3 : Position when move in linear motion with speed 15cm/s	37
Figure 6.4 : Position when turn around a point to the left with 100 cm radius of curvature with speed 5 cm/s	38
Figure 6.5 : Position when turn around a point to the left with 100 cm radius of curvature with speed 10 cm/s	38
Figure 6.6 : Position when turn around a point to the left with 100 cm radius of curvature with speed 15 cm/s	39
Figure 6.7 : Position when turn around a point to the right with 100 cm radius of curvature with speed 5 cm/s	39
Figure 6.8 : Position when turn around a point to the right with 100 cm radius of curvature with speed 10 cm/s	40
Figure 6.9 : Position when turn around a point to the right with 100 cm radius of curvature with speed 15 cm/s	40
Figure 6.10 : Position when turn around a point to the left with 200 cm radius of curvature with speed 5 cm/s	41
Figure 6.11 : Position when turn around a point to the left with 200 cm radius of curvature with speed 10 cm/s	41

LIST OF FIGURES (CONT.)

	Page
Figure 6.12 : Position when turn around a point to the left with 200 cm radius of curvature with speed 15 cm/s.....	42
Figure 6.13 : Position when turn around a point to the right with 200 cm radius of curvature with speed 5 cm/s.....	42
Figure 6.14 : Position when turn around a point to the right with 200 cm radius of curvature with speed 10 cm/s.....	43
Figure 6.15 : Position when turn around a point to the right with 200 cm radius of curvature with speed 15 cm/s.....	43
Figure 6.16 : Angle when rotating counterclockwise at 5 degree/s.....	44
Figure 6.17 : Angle when rotating counterclockwise at 10 degree/s.....	44
Figure 6.18 : Angle when rotating counterclockwise at 15 degree/s.....	45
Figure 6.19 : Angle when rotating clockwise at 5 degree/s.....	45
Figure 6.20 : Angle when rotating clockwise at 10 degree/s.....	45
Figure 6.21 : Angle when rotating clockwise at 15 degree/s.....	46
Figure 6.22 : Distance from robot's center to wheels and velocity profile.....	46
Figure 6.23 : Robot climbed up a slope.....	47
Figure 6.24 : Robot velocity when climbed up 30 degree slope.....	48
Figure 6.25 : Slip ratio when climbed up 30 degree slope.....	48
Figure 6.26 : Traversing over a ditch.....	48
Figure 6.27 : Robot velocity when traversed over a ditch.....	49
Figure 6.28 : Slip ratio when traversed over a ditch.....	49
Figure 6.29 : Climbing over a step.....	50
Figure 6.30 : Robot velocity when climbed over a step.....	50
Figure 6.31 : Slip ratio when climbed over a step.....	51
Figure 6.32 : Step climbing situation.....	51
Figure 6.33 : Lowering the bogie pivot.....	51
Figure 6.34 : Climbing up the pavement.....	52
Figure 6.35 : Climbing up the slope.....	52

LIST OF FIGURES (CONT.)

	Page
Figure 7.1 : Omni-direction camera	55
Figure A.1 : Left Bogie on uneven terrain	59
Figure A.2 : Instantaneous center of rotation of the left bogie	61
Figure A.3 : Left Rocker on uneven terrain	62
Figure A.4 : Right Bogie on uneven terrain	62
Figure A.5 : Instantaneous center of rotation of the right bogie	63
Figure A.6 : Right Rocker on uneven terrain	64
Figure B.1 : Left coordinate frame	66
Figure B.2 : Right coordinate frame	66
Figure B.3 : Contact coordinate frame	69
Figure B.4 : Wheel motion frame	70

LIST OF TABLES

	Page
Table 3.1 : Comparison of drive schemes	7
Table B.1 : Denavit-Hartenburg parameters.....	67
Table B.2 : Parameters for Contact Coordinate Frame.....	69
Table B.3 : Parameters for Wheel Motion Frame	70